分析与测试

基于硅纳米粒子的荧光探针高灵敏检测牛奶中的青霉素

王升匀¹, 李春荣^{*1}, 孟铁宏¹, 赵鸿宾¹, 廖德君¹, 陶晨¹, 张祥令² (1.黔南民族医学高等专科学校 科技研发中心, 贵州 都匀 558000; 2.贵州医科大学 基础医学院, 贵州 贵阳 561113)

摘要:以 N-氨乙基-Y-氨丙基三甲氧基硅烷和荧光素钠为原料,水热法合成了一种在 450 nm 处发射蓝色荧光的硅纳米粒子(DFC)。利用傅里叶变换红外光谱(FT-IR)、X-射线光电子能谱(XPS)、透射电镜(TEM)、Zeta 电位、紫外-可见吸收光谱等对 DFC 进行结构表征和光谱性能分析。通过将 DFC 与铬离子(Cr^{3+})作用,构建了一种可以检测青霉素(Penicillin G, PG)的荧光探针 Cr^{3+} @ DFC。当 PG 存在时, Cr^{3+} @ DFC 的荧光回升。在 $0.1 \sim 1.0$ $\mu g/mL$ 检测浓度范围内,荧光回升效率与 PG 浓度呈良好的线性关系。线性方程为 y = 71.26x + 0.478, $R^2 = 0.99$, 检出限为 0.023 $\mu g/mL$ 。方法操作简便、灵敏度高,可用于牛奶样品中 PG 的检测,具有广阔的推广及应用前景。

关键词:硅纳米粒子;青霉素;荧光探针;牛奶样品;荧光检测

中图分类号: 065 文献标识码: A 文章编号: 0258-3283(2025)02-0073-06

DOI: 10.13822/j.cnki.hxsj.2024.0426

Highly Sensitive Detection of Penicillin G in Milk by Fluorescence Probe Based on Silicon Nanoparticle WANG Sheng-yun¹, LI Chun-rong^{*1}, MENG Tie-hong¹, ZHAO Hong-bin¹, LIAO De-jun¹, TAO Chen¹, ZHANG Xiang-ling² (1. Technology Research and Development Center, Qiannan Medical College for Nationalities, Duyun 558000, China; 2. School of Basic Medicine, Guizhou Medical University, Guiyang 561113, China)

Abstract: The silicon nanoparticle (DFC) that emits blue fluorescence at 450 nm was synthesized by using the reagents of N-[3-(Trimethoxysilyl) propyl] ethylenediamine and fluorescein sodium salt. The structural characterization and spectral performance analysis of DFC were carried out by Fourier transform infrared spectroscopy (FT-IR), X-ray photoelectron spectroscopy (XPS), transmission electron microscope (TEM), Zeta potential and ultraviolet-visible absorption spectrum. Based on the performance DFC can be quenched by Cr^{3+} ion, a fluorescent probe of Cr^{3+} @ DFC for the detection of penicillin G (PG) was prepared. The fluorescence of the Cr^{3+} @ DFC probe was recovered in the presence of PG. There was a good linear relationship between fluorescence recovery efficiency and PG concentration in the range of $0.1 \sim 1.0 \,\mu\text{g/mL}$. The detection limit is $0.023 \,\mu\text{g/mL}$, and the linear equation was y = 71.26x + 0.478, $R^2 = 0.99$. The method is easy to operate and has high sensitivity to detect PG in milk samples, which offers a promising application prospect.

Key words: silicon nanoparticle; penicillin G; fluorescence probe; milk sample; fluorescence detection

抗生素是由生物体内产生的具有抵抗病毒次级代谢物,过量抗生素的使用不仅抑制细胞的正常生长,同时也对人类的健康安全造成潜在的威胁^[1-3]。特别是抗生素滥用后通过动物食物链的传递而进入人体,当积累的抗生素达到一定量之后,就会对人体健康带来危害。青霉素(Penicillin G,PG)作为抗生素的一种,广泛被应用于畜牧养殖和疾病防治^[4,5]。牛奶作为动物源性食品,因其口感好、蛋白含量高,已经成为人们日常生活中必不可少的食品之一,因此牛奶的食品安全保障也成为了人们关心的热点。目前,食品中抗生素检测的方法有高效液相色谱-串联质谱法^[6]、液相

色谱-紫外-质谱法^[7]、液相色谱-荧光检测法^[8,9]。 仪器检测的方法灵敏度高,准确,但需要比较复杂 的样品前处理过程,分析时间比较长。另外抗生

收稿日期:2024-10-04;修回日期:2024-11-16

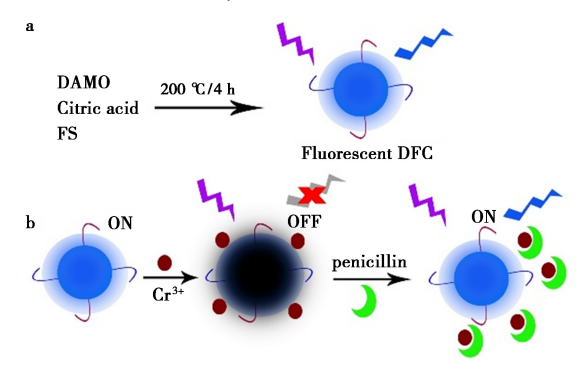
基金项目: 黔南民族医学高等专科学校基金资助项目 (QNYZ202144,202105,202106,202201,2022003,2022005,2023002);贵州省中医药管理局中医药、民族医药科学技术课题资助项目(QZYY-2024-138);贵州省科技厅基金资助项目(黔科合基础-ZK[2022]一般552)。

作者简介:王升匀(1968-),男,贵州都匀人,学士,副教授, 主要研究方向为食品及生化分析。

通讯作者:李春荣, E-mail:lichunrong68@163.com。

素的检测方法又拓展到了酶联免疫分析法^[10-12]、微生物法^[13]、毛细管电泳法等^[14,15]。免疫分析是根据抗原抗体之间的特异性反应进行检测的分析方法,虽然该方法灵敏度高,样品检测数量大,重现性好,但也存在无法检测合适对应抗原的抗生素的缺陷。微生物法因操作简单、检测时间短、成本低,是目前应用最广泛的检测抗生素的方法,但检测的灵敏度比较低,不适合痕量和微量分析。毛细管电泳法虽然检测所用样品量少,检测快,但检测的灵敏度低。因此,建立一种高效、高灵敏、准确度高,低成本的抗生素检测方法是非常必要且具有重要意义。

硅纳米粒子是一种粒径较小(一般在 10 nm 以下)的纳米微粒[16],其原料在自然界中广泛存 在,来源易得。硅纳米粒子具有优异的光学、电学 性能和良好的生物相容性,在化学、生物、医学领 域具有良好的应用前景[17-19]。2019年,Wei 等[20] 通过合成绿色荧光硅纳米粒子,实现了灵敏检测 血红蛋白。Reddy等[21]以富含硅的马尾草为前 体,通过水热法制备了蓝色荧光硅纳米粒子,并通 过荧光淬灭的方式实现了铁离子的检测。Huang 等[22] 通过 N 掺杂的方式,制备了硅量子点并建立 了荧光开关策略,实现了银离子和过氧化氢的双 检测,Ren 等[23] 通过掺杂铕制备了双发射硅点, 实现了对四环素灵敏检测和手机成像分析。基于 硅纳米粒子优异的荧光性能和应用,本文通过水 热法制备了一种水溶性的蓝色荧光硅纳米粒子 (DFC),通过金属铬离子(Cr3+)对 DFC 的荧光淬 灭作用构建了荧光探针 Cr3+@ DFC,其荧光处于 "OFF"状态,当 PG 存在时, Cr3+@ DFC 的荧光信 号得到回升, 荧光呈"ON"状态, 因此基于荧光 "开-关-开"的策略,可建立一种快速、高灵敏检测



a.DFC 的制备;b.DFC 检测 PG 的传感机理 **图 1** 原理示意图

Fig.1 Mechanism schematic diagrams

PG 的分析方法(图 1)。该方法不仅简单、快速、而且准确度高,具有可应用于实际样品检测的良好前景。

1 实验部分

1.1 主要仪器与试剂

FL970型荧光光谱仪、UV2500型紫外-可见吸收光谱仪(上海天美科学仪器有限公司); Litesizer™ 500ZETA型电位及纳米粒度分析仪(安东帕(上海)商贸有限公司);PHS-3C⁺型智能酸度计(成都世纪方舟科技有限公司);SpectrumTwo™型红外光谱仪(珀金埃尔默企业管理(上海)有限公司);LVO-0B型真空干燥箱(上海龙跃仪器设备有限公司);EX125DZH型电子分析天平(奥豪斯仪器(常州)有限公司);XD-52A型旋转蒸发器(上海贤德实验仪器有限公司)。

N-氨乙基-Y-氨丙基三甲氧基硅烷(DAMO, 上海麦克林生化科技股份有限公司); 荧光素钠 (FS,上海碧云天生物技术股份有限公司); 柠檬酸、氯化铬、抗坏血酸、氨基酸(分析纯,上海阿拉 丁生化科技股份有限公司); 青霉素 (98%,广州 齐迈克林科技有限公司)。此外,实验用水均采 用 Milli-Q(Millipore)超纯水净水器纯化后的超纯 水(18.2 $M\Omega \cdot cm, 25 \ ^{\circ}$)。

1.2 硅纳米粒子制备

准确称取 30 mg 荧光素钠溶于 8 mL 去离子水中,向其加入 2 mL DAMO 混合,然后再加入 1 mmol 柠檬酸,充分混合均匀后,将溶液转入聚四氟乙烯反应釜内衬于 200 ℃反应 4 h,得到蓝色荧光硅纳米粒子。用分子截留量 1 KD 的透析袋透析 24 h,期间每 4 h 换一次超纯水,收集透析液并减压浓缩,浓缩液预冷后进行真空冷冻干燥,得到橙色硅纳米粒子粉末。

1.3 Cr³⁺@ DFC 淬灭体系构建

固定 DFC 体积 20 μ L, 加 100 μ L Cr^{3+} 标准溶液, 然后加水定容至 500 μ L, 涡旋混合均匀, 测体系的荧光强度。

1.4 DFC 对青霉素的检测

利用 DFC 与 Cr³+构建的淬灭体系(Cr³+@DFC)作为检测探针,将青霉素加入 Cr³+@DFC 淬灭体系,混合均匀,静置一段时间后测试荧光强度。

1.5 样品制备

以超市某品牌纯牛奶为测试对象,将500 mL

(0.1 moL/L)柠檬酸溶液与 312.5 mL(0.2 moL/L) 磷酸氢二钠溶液混合,氢氧化钠溶液调至 pH 3.95~4.05,将30.25 g 乙二胺四乙酸二钠放入其 中,使其混合均匀。准确称取5g纯牛奶,加入上 述缓冲溶液定容至 50 mL, 涡旋混合 1 min, 冰水 浴超声 10 min,转至 50 mL 离心管中冷却至 0~ 4 ℃,5 000 r/min 离心 10 min,再用快速滤纸过 滤,得到牛奶测试样品。

干扰性试验

为测试荧光探针 Cr3+@ DFC 对 PG 的选择 性,实验测试了在相同条件下一些常见抗生素、氨 基酸等小分子物质如链霉素(STR)、氯霉素 (CHL)、葡萄糖(L-GIu)、甘氨酸(L-GIy)、半胱氨 酸(L-Cys)、丝氨酸(L-Ser)、天冬氨酸(L-Asp)、酪 氨酸(DL-Tyr)等存在下体系的荧光强度。

2 结果与讨论

2.1 光谱测试及结构表征

利用 UV-Vis 和荧光光谱仪对 DFC 进行了光 谱性质测试。在波长 400 nm 处 DFC 具有较为明 显的紫外吸收,荧光发射峰和激发峰峰型对称,强 度相当,且无明显拖尾现象。说明制备的 DFC 颗 粒均匀,并且在水溶液中具有良好的分散性能。 在紫外暗箱下, DFC 发出明亮的蓝色荧光(图 2a 和内插图)。通过扫描不同激发波长下 DFC 的荧 光发射,发现 DFC 的荧光发射峰不随激发波长的 改变而改变,具有典型的硅纳米粒子特性,在 360 nm 激发下, DFC 在 450 nm 处具有最强的荧 光信号,因此后续进行荧光测试实验时,均选择 360 nm 作为最佳激发波长进行扫描(图 2b)。

通过 FT-IR 对 DFC 进行红外光谱表征,在 1 099 cm⁻¹处为 Si—O 键的吸收峰,在 1 366 cm⁻¹ 处为 C-N 键的伸缩振动吸收峰,在 1 646、3 242 cm⁻¹处出现吸收峰,说明有 N—H 官能团(图 2c)。通过 X-射线光电子能谱仪对 DFC 进行 XPS 全谱扫描可知,Si2p、C1s、N1s、O1s的信号分别出 现在 102.4、248.8、400.08、532.22 eV 处,与 DAMO 相比, C 的含量最高达到 65. 21%, Si 的含 量为 18.60%, N 的含量为 13.69%, 说明制备的 DFC 表面含有氨基(图 2d)。进一步通过 TEM 对 DFC 进行形貌和粒径表征, DFC 呈规则的球形, 具有非常好的分散性,基本没有团聚现象,且颗粒 大小比较均匀, 粒径约为 4.2 nm(图 3a), 通过 Zeta 电位及粒径分析仪测试了 DFC 的表面带电 性能,发现 DFC 的 Zeta 电位值为-21.2 eV(图 3b)_o

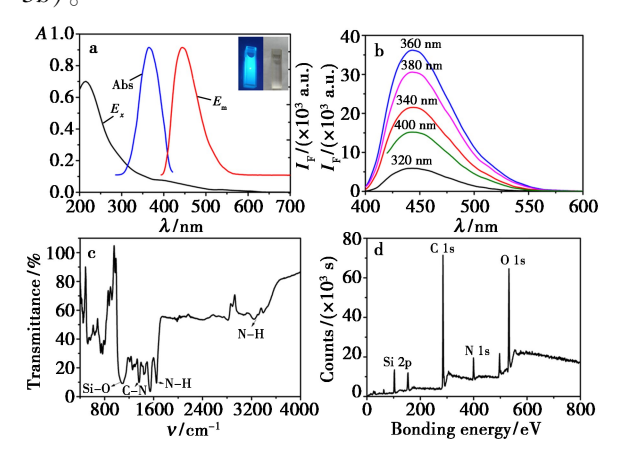


图 2 a.DFC 的 UV-Vis 及荧光光谱, Abs: 吸收光谱, E_x :激发光谱, E_m :发射光谱(内插图分别为在日光及 暗箱下的颜色);b.DFC 在不同激发下的荧光光谱 (320~400 nm); c.红外光谱图; d.XPS 扫描全谱

Fig.2 a.UV-Vis absorbance spectrum and fluorescence spectra of DFC, Abs: absorbance spectrum, E_x : excitation spectrum, $E_{\rm m}$: emission spectrum (inset is in daylight and dark, respectively); b.Fluorescence spectra of DFC under different excitation wavelength (320~400 nm); c.FT-IR spectrum of DFC; d.XPS full scan of DFC

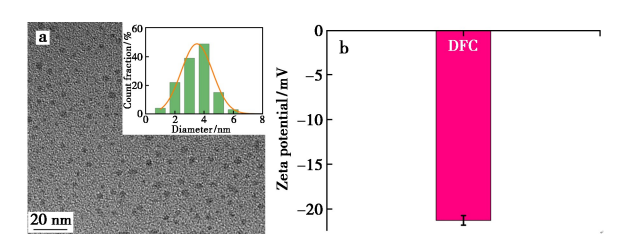


图 3 a.DFC 的透射电镜图及粒径分布;b.Zeta 电位 Fig.3 a.TEM image and diameter distribution of DFC; b.Zeta potential of DFC

2. 2 反应条件优化

实验首先对 DFC 的用量进行了优化,固定 Cr^{3+} 的浓度,然后依次加入不同体积的 DFC,使其 终浓度分别为10、20、30、40、50、60、70、80、90、100 μg/mL,通过测试体系的荧光强度发现,当 DFC 浓度较低时, Cr3+对 DFC 的淬灭效率达到 90%以 上,当 DFC 在 40~70 μg/mL 浓度范围内时,淬灭 效率几乎保持在 85% 左右,继续增大 DFC 用量, 淬灭效率出现下降趋势(图 4a)。为保持 DFC 淬 灭体系的稳定性和节约试剂,后续实验控制 DFC 的最终浓度为 50 μg/mL。其次探针的稳定性是 建立准确分析方法的关键因素,实验继续测试了 Cr3+@ DFC 随时间变化的动力学行为。当向 DFC

中加入 Cr³+后,DFC 的荧光出现显著淬灭,并随时间延长而逐渐减弱,当时间达到 1 200 s 后,体系的荧光强度基本处于稳定状态。因此选择 1 200 s 作为反应时间(图 4b)。实验进一步测试了 Cr³+@ DFC 探针在不同 pH 条件下的稳定性,在 pH<3 强酸和 pH>11 强碱性条件下,Cr³+@ DFC 探针的荧光强度不稳定,在 pH 4~10 时,Cr³+@ DFC 探针的荧光强度基本处于稳定状态(图 4c),水刚好处于探针稳定存在的环境,因此后续实验选择在超纯水中进行。温度也是影响探针荧光稳定性的一个重要因素,实验分别在 4、25、37、55 ℃ 4 个不同的温度下测试了探针的荧光变化。结果表明,随温度升高探针的淬灭出现微弱上升趋势,淬灭效率仅有 5%的微小变化(图 4d),考虑后续实际样品检测,实验选择在室温下进行。

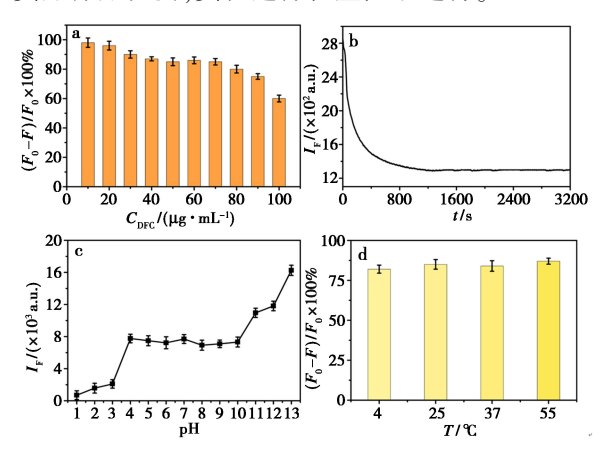


图 4 a.不同浓度 DFC 对淬灭效率的影响; b.Cr³+对 DFC 的动态荧光淬灭;c.pH 对 Cr³+@ DFC 稳定性的影响;d.温度对 Cr³+@ DFC 稳定性的影响 Fig.4 a.Effect of different concentrations of DFC on the quenching efficiency;b.Dynamic fluorescence quenching of DFC in the presence of Cr³+;c.Effect of pH on the stability of Cr³+@ DFC;d.Effect of temperature on the stability of Cr³+@ DFC

2.3 Cr³⁺对 DFC 的荧光淬灭

为测试 Cr^{3+} 对 DFC 的荧光淬灭性能,在优化条件下,向固定浓度的 DFC 中加入不同浓度的 Cr^{3+} ,充分反应之后测体系的荧光强度。随 Cr^{3+} 浓度的增加, DFC 的荧光强度逐渐降低,淬灭效率($(F_0-F)/F_0\times100\%$, F_0 : DFC 的荧光强度, F: 加入 Cr^{3+} 之后体系的荧光强度) 逐渐增强(图 5a),当 Cr^{3+} 浓度达到 $10~\mu$ mol/L, DFC 的荧光淬灭效率接近 90%,继续增加 Cr^{3+} 至 $100~\mu$ mol/L 时,淬灭效率也只增加了 6%(图 5b),说明 Cr^{3+} 淬

灭 DFC 荧光后形成了比较稳定的 Cr³+@ DFC 探针并处于稳定状态。

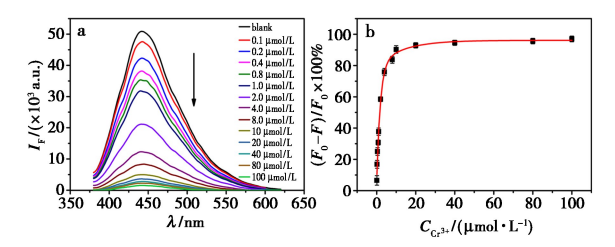


图 5 Cr³⁺(0~100 μmol/L)对 DFC 的荧光光谱(a)和 淬灭效率(b)

Fig.5 Fluorescence spectra (a) and quenching efficiency (b) of $Cr^{3+}(0\sim100~\mu mol/L)$ toward DFC

2.4 PG 检测

固定探针 Cr3+@ DFC 的量,然后加入不同浓 度的 PG. 在相同条件下测试体系的荧光强度。当 加入 PG 后, Cr³⁺与 PG 分子上的 N 与—COOH 之 间形成稳定的螯合物,使 Cr3+脱离了 DFC 的吸 附,因此 DFC 的荧光得以回升。随 PG 浓度的增 加,体系的荧光强度逐渐回升,说明 PG 能够回升 Cr3+@ DFC 探针荧光, 荧光回升效率也随之增加 (图 6a), (回升效率 $(F-F_0)/F \times 100\%$, F_0 : Cr^{3+} 淬 灭 DFC 后的荧光强度,F:向淬灭体系中加入青霉 素后回升的荧光强度),在 0.1~1.0 μg/mL 浓度 范围内,PG 与荧光回升效率之间呈良好线性关 系,拟合得到线性方程 $\gamma = 71.26x + 0.478, R^2 =$ 0.99,LOD 为 0.023 μg/mL,在高浓度范围 2.0~ 10.0 μg/mL 内,拟合的线性方程为 γ = 1.244x + 74. 25, R² = 0. 97(图 6b), 说明在较高浓度范围内 也可以准确检测 PG。实验还进一步考察了 PG 加入后, Cr3+@ DFC 探针荧光回升随时间变化的 动力学行为。可以看出,当 PG 加入后, Cr3+@ DFC 的荧光逐步回升,在前 1 000 s 内,由于 PG 浓度比较高,因此荧光回升比较快,随着时间延

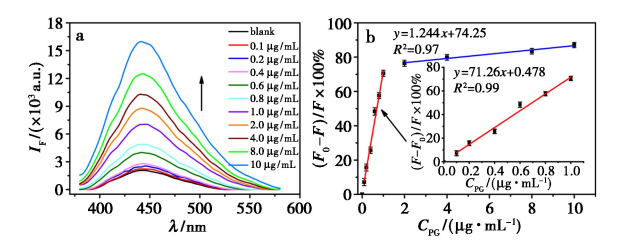


图 6 a.加人不同浓度 PG 后, Cr³⁺@ DFC 的荧光谱图; b.回升效率与 PG 浓度之间关系

Fig.6 a.Fluorescence spectra of Cr³⁺@ DFC with different concentrations of PG;b.Relationship between the recovery efficiency and concentrations of PG

长,PG浓度逐渐降低,体系荧光回升速率也逐渐减缓,当时间增加至 3 000 s 时, Cr³+@ DFC 的荧光回升基本达到稳定状态,继续延长时间,回升效率保持不变(图 7a),说明构建的 Cr³+@ DFC 探针可以实现对 PG 的高灵敏及快速检测。

2.5 选择性试验

为验证建立的分析方法可以广泛应用于实际样品中 PG 的检测,对潜在的干扰物质在相同的实验条件下进行了荧光回升测试。结果显示,PG存在下探针的荧光回升效率达 83.7%,而其他干扰物质存在时,探针的荧光回升效率仅为 0.8%~5.2%(图 7b),说明本方法对 PG 的检测具有极高的选择性。

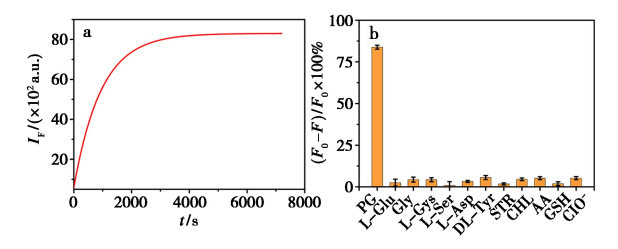


图 7 a.Cr³⁺@ DFC 在 PG 存在时的荧光回升动力学; b.不同干扰物质存在下, Cr³⁺@ DFC 对 PG 的选择性

Fig.7 a.Dynamic of fluorescence recovery of Cr³+@ DFC in the presence of PG;b.Specificity of Cr³+@ DFC toward PG against different interferents

2.6 牛奶样品分析

为验证分析方法的准确性,将构建的方法应用于牛奶样品中进行检测,并进行加标回收实验。结果如表 1 所示,加标回收率在 92.5%~105.5%之间,RSD 在 0.06%~0.47%之间,表明所构建的分析方法准确度高,可应用于实际样品中 PG 的检测。

表 1 加标回收实验结果

Tab.1 Results of spiked recovery experiment

(n=3)Added amount Found amount RSD/ Recovery/ Sample of PG/ of PG/ % % $(\;\mu g\boldsymbol{\cdot} mL^{-1}\,)$ $(\,\mu g\!\cdot\! mL^{-1}\,)$ 0.1 0.095 95.5 0.47 Milk 0.20.210 105.5 0.4 0.370 92.5 0.12

3 结论

本文通过水热法制备出了一种发射蓝色荧光的纳米粒子 DFC, Cr³⁺对 DFC 具有强烈的荧光淬灭效果,构成了一种稳定、选择性高的 Cr³⁺@ DFC

探针。PG 能够回升 Cr^{3+} @ DFC 探针的荧光,回升效率与 PG 的浓度呈现良好的线性关系。在浓度 $0.1\sim1.0~\mu g/mL$ 范围内,拟合的线性方程为 y=71.26x+0.478, $R^2=0.99$, 检出限 $0.023~\mu g/mL$ 。因此建立了一种对 PG 检测具有高灵敏及高选择性的分析方法,该方法可用于实际样品中 PG 的检测,方法准确度高,本文所建立的分析方法,也启发了通过构筑高灵敏探针的方式,以期实现对更多抗生素生物分子的检测。

参考文献:

- [1] Rizzetti T M, Souza M P D, Presters O D, Adaime M B, Zanella R. Food Chem., 2018, 246(25):404-413.
- [2] Lv K, Liu X W, Deng C X, Zheng K, Li L L, Shi J H, Guo W. Environ. Chem., 2019, **38**(**11**):2 415-2 424. 吕凯,刘晓薇,邓呈逊,郑坤,李兰兰,史江红,郭伟.环境化学, 2019, **38**(**11**):2 415-2 424.
- [3] Zhao C Q, Liang J J, Li Z M, Xu X Y, Liu Z. Anal. Lab, 2023, **42**(**8**):1 066-1 073. 赵超群,梁晶晶,李志梅,徐潇颖,刘柱.分析试验室, 2023, **42**(**8**):1 066-1 073.
- [4] Zhou L, Chen G, Chen M, Lu X Y, Xi Y J, Zhi Y. Food Addit. Contam. A, 2022, 39(3):488-498.
- [5] Zhang Y Y, Li J Y, Zhang D H, Li H, Jin Y D, Peng W. J. Hebei North Univer. Nat. Sci., 2018, **34**(**6**):56-61. 张岩蔚,李佳仪,张冬昊,栗慧,金艳丹,彭伟.河北北方学院学报(自然科学版),2018,**34**(**6**):56-61.
- [6] Xu X, Xu X Y, Han M, Qiu S, Ho X. Food Chem., 2019, 276(15):419-426.
- [7] Bailac S, Barron D, Barbosa J. Anal. Chim. Acta, 2006, 580(2):163-169.
- [8] Posyniak A, Mitrowska K. B Vet. I Pulawy, 2008, 52(3): 427-430.
- [9] Cheng W X, Zhang Q X, Liu Y, Zou L K. Spectrosc. Spectral Anal., 2024, 44(5):1 245-1 254. 程文轩,张庆贤,刘宇,邹立扣.光谱学与光谱分析, 2024, 44(5):1 245-1 254.
- [10] Yang S, Carlson K. Water Res., 2004, **38**(**14**): 3 155-3 166.
- [11] Ashu T R, Pinacho D G, Pascual N, Granados M, Companyo R, Marco M P. Food Control, 2015, 57:195-201.
- [12] Le T, Yi S H, Wei S, Liu J. Food Agr. Immunol., 2015, **26**(6): 804-812.
- [13] Zheng Y, Fan L X, Dong Y J, Liang J Y, Yuan X X, Wang L, Zhang B C, Zhao S C. Qual. Safe. Agr., 2019, 3:

- 65-69.
- 郑颜,范丽霞,董燕婕,梁京芸,苑学霞,王磊,张丙春,李峰,赵善仓.农产品质量与安全,2019,3:65-69.
- [14] Mohammad R, Ayatghasmi V, Mahdi L, Zahra E, Ali A R, Sajad S M. Microchim. Acta, 2019, 186(6):1-10.
- [15] Li F, Wang X, Sun X, Guo Y. RSC Adv., 2017, 7(62): 38 981-38 988.
- [16] Sato K, Yokosuka S, Takigami Y, Hirakuri K, Fujioka K, Manome Y, Sukegawa H, Iwai H, Fukata N. *J. Am. Chem. Soc.*, 2011, **133**(46):18 626-18 633.
- [17] Kryievski A, Mihavlov D, Kilin D. J. Phys. Chem. Lett., 2018, 9(19):5759-5764.

- [18] Rowe D J, Kortshagen U R. Nano Lett., 2013, 13(3): 1 317-1 322.
- [19] Long Y, Zhang L, Yu Y, Lin B, Cao Y, Guo M. Lumines-cence, 2019, 34(6):544-552.
- [20] Li Q, Peng K T, Yu Y C, Ruan X Y, Wei Y. *Electrophoresis*, 2019, **40**(**16**):2 129-2 134.
- [21] Adinarayana T V S, Ayushi M, Ishu S, Reddy R K. *Nanoscale Adv.*, 2020, **2**:4 125-4 132.
- [22] Zhu H, Huang D Y, Liu L R, Yin Y H, Wu Y T, Huang Y Q. Anal. Lett., 2020, 33(1):1-17.
- [23] Ren X H, Ma Z B, Zhang H R, He X W, Li W Y, Zhang Y K. *Talanta*, 2024, **278**(1):126 432-126 439.